

طراحی، سنتز و برهمکنش DNA با کمپلکس پالادیوم فندایون سارکوزین

حسین فرهنگیان

پژوهشگاه شیمی و مهندسی شیمی ایران

E-mail: Farhangian@ccerci.ac.ir

چکیده

تحقیق حاضر به منظور طراحی و تولید مشتق جدیدی از داروهای ضد سرطان با سمیت و عوارض جانبی کمتر نسبت به داروهای کلینیکی پلاتین در درمان سرطان، صورت گرفته است. در این تحقیق، برهمکنش DNA با کمپلکس ضد سرطان جدید پالادیوم (II) با فرمول $[Pd(phd)(sarcosine)]NO_3$ مورد بررسی قرار گرفته است. در فرمول، phd به معنای ۱ و ۱۰-فنانترویلین-۵ و ۶-دی ان می باشد. این کمپلکس دارای این توانایی است که در غلظت میلی مولار، DNA را تخریب کند و این توانایی با افزایش دما، بهبود می یابد. همچنین، با تعیین پارامترهای ترمودینامیکی در این برهمکنش، مکانیسم احتمالی و نحوه تغییر کانفورماسیون DNA پیش بینی شده است.

واژه های کلیدی: کمپلکس پالادیوم (II) ، DNA ، فندایون، سارکوزین، ضد سرطان

یکی از فلزات جایگزین برای داروهای ضد سرطان پلاتین مورد بررسی و تحقیق قرار گرفت.

۱-۲- کمپلکس‌های پالادیوم با لیگاندهای دارای حلقه آروماتیک

اگرچه ترکیب‌های آلی فلزی برای سیستم‌های زیستی به عنوان عوامل سمی شناخته می‌شوند، در حال حاضر داروهایی که بر پایه فلزات ساخته می‌شوند، به اهمیت بیشتری در درمان‌ها دست یافته‌اند. افزودن یون‌های فلزی به درون مولکول‌های زیستی مانند پروتئین‌ها و نوکلئیک‌اسیدها، یک حوزه گسترده از تحقیقات را شکل داده است. بنابراین استفاده از ترکیب‌های آلی فلزی واسطه در داروسازی بسیار پررنگ است.

در سال‌های اخیر، تعداد زیادی دارو به دلیل فعالیت‌های درمانی گسترده‌ای که دارند، معرفی شده‌اند، اما فقط چند دارو وارد چرخه پزشکی شده‌اند. تجربه نشان داده است که تغییرات کوچک در ساختار داروها، به طریق چشمگیری می‌توانند خواص درمانی آن‌ها را تغییر دهند. آشکار است که لیگاندهای آلی فلزی فرصت‌هایی را ارائه می‌دهند که با داروهای معدنی سنتی به دست نمی‌آیند. این لیگاندها می‌توانند تغییرات و بهبودهای ساختاری را در داروها ایجاد کنند که به دست آوردن این امکانات با داروهای معدنی سنتی غیرممکن است [6].

تحقیقات نشان می‌دهد اگر گروه NH_3 در سیس پلاتین و ترکیبات مشابه آن با آمین‌های نوع اول (خصوصاً حلقوی و آروماتیک) جایگزین شود، منتهی به تهیه داروهای ضد سرطانی با عوارض جانبی کمتر می‌شود [6,7]. به این ترتیب کمپلکس‌های فلزی با لیگاندهای آروماتیک چنددندانه با کئوردیناسیون مسطح مربعی N_4 یا N_2O_2 ، بیشتر برای برهمکنش با DNA مطالعه می‌شود [8-10]. از انواع این ترکیبات کمپلکس‌های حاوی لیگاندهای دودندانه نیتروژن از جمله ۱۰ و ۱۱ فنانترویلین به عنوان برش دهنده (cleavage)

رشته‌های DNA و غیر رادیواکتیو است [11]. همچنین کمپلکس‌های پالادیوم با لیگاندهای دارای اتم N از جمله پیریدین، کوئینولین و پیرازول نیز سنتز و مشخص شده است که دارای خصلت انتی توموری هستند [12-14]. این ترکیبات علاوه بر کاربرد در طراحی حسگرهای شیمیایی دارای فعالیت بیولوژیکی از قبیل بازدارنده ویروس HIV-1 [15,16] ضد باکتری [17]، ضد مالاریا [18] و ضد توموری بوده [19,20] و به همین دلیل گزینه مناسبی در سنتز و برهمکنش کمپلکس‌های ضدتوموری می‌باشد.

بنابراین کمپلکس‌های با لیگاندهای آروماتیک مانند فنانترویلین یا بی‌پیریدین و سایر لیگاندهایی که دارای خواص ضد سرطانی هستند، مورد تحقیق و بررسی قرار گرفته‌اند. برای افزایش قابلیت عبور از غشای سلول و سازگاری بیشتر با سیستم فیزیولوژی، از اسیدهای آمینه به عنوان لیگاند N و O دهنده استفاده می‌شود. این اسیدهای آمینه، نیتروژن و اکسیژن یا گروه کربوکسیلات را به صورت پل به یون‌های فلزی متصل می‌کنند.

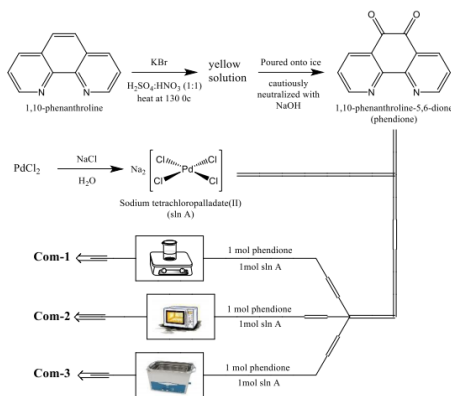
در اثر کئوردینه شدن اسیدهای آمینه به صورت کیلیت، باعث می‌شود دو جایگاه کلر در سیس پلاتین غیرفعال یا بلوکه شوند. این اقدام ممکن است منجر به کاهش عوارض جانبی شود. همچنین، در برخی از کمپلکس‌های پالادیوم و پلاتین با استفاده از اسیدهای آمینه، خصوصیت ضد توموری مشاهده شده است، به عنوان مثال بر روی سلول سرطانی لنفوسیت P388 اثر کمپلکس $[Pd(phen)(Tyr)]^+$ گزارش شده است [21].

۲- مواد و روش‌ها

۲-۱- مواد

مواد واکنش شامل ۱۰ و ۱۱- فنانترویلین مونوهیدرات، پتاسم برماید، پالادیوم کلراید، نیترات نقره و DNA از سیگما الدریج

ان (۰,۱ میلی‌مول) حل شده در ۲ میلی لیتر اتانول تقطیر شده در دمای اتاق افزوده و به مدت یک ساعت هم زده شد. رسوبهای زرد آجری حاصل تحت خلاء صاف و با مقدار زیادی آب دو بار تقطیر و ۵ میلی لیتر اتانول و ۵ میلی لیتر اتر شستشو داده شد و در دمای ۳۵ درجه سانتیگراد خشک گردید. مقدار محصول ۳۲ میلی گرم و بازده واکنش ۹۰٪ است. دمای تجزیه این کمپلکس ۳۷۰ درجه سانتیگراد تعیین گردید.



۲-۲-۳- سنتز کمپلکس سارکوزین پالادیوم فندايوم

نیترات

در یک بالون ۵۰ میلی لیتری مقدار یک میلی مول سارکوزین، یک میلی مول فندايوم پالادیوم کلراید، دو میلی مول نیترات نقره و ۳۵ میلی لیتر آب مقطر می‌ریزیم و بالون را برای مدت ۲۴ ساعت در تاریکی در دمای ۵۰ درجه سانتیگراد حرارت می‌دهیم. پس از این مدت رسوب AgCl را فیلتر می‌کنیم و حلال را توسط خلا حذف می‌کنیم. رسوب حاصل را توسط استون شستشو داده و در آون خشک می‌کنیم. راندمان واکنش ۷۸ درصد می‌باشد. طیف HNMR در حلال DMSO گرفته شد.

۲-۳- روش آزمایش

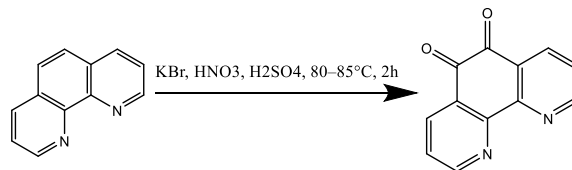
برهمکنش کمپلکس و DNA

و سایر مواد و حلال‌ها از شرکت امرتات شیمی تهیه شده است.

۲-۲- سنتز مواد اولیه و کمپلکس

۲-۲-۱- سنتز لیگاند (۱۰ فنانترولین-۶و۵-دی ان

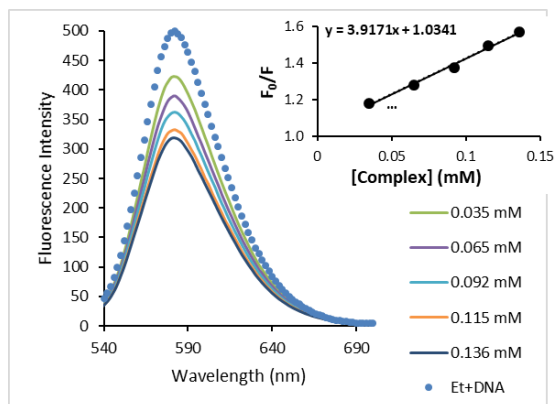
به یک بالون دو دهانه ۱۰۰ میلی لیتری مخلوطی از ۴ گرم ۱۰-فنانترولین مونوهیدرات و ۴ گرم پتاسیم برمید اضافه می‌کنیم سپس مخلوط سردی از ۴۰ میلی لیتر اسید سولفوریک غلیظ و ۲۰ میلی لیتر اسید نیتریک غلیظ را به صورت قطره قطره به محتویات بالون اضافه می‌کنیم بالون باید در حمام یخ قرار داشته باشد دود نارنجی برم از ظرف واکنش متصاعد می‌شود. پس از اتمام افزودن مخلوط اسیدها بالون را در دمای ۹۰ تا ۱۰۰ درجه سانتیگراد و برای مدت ۳ ساعت تحت ریفلکس قرار می‌دهیم. سپس واکنش را برای مدت ۱ ساعت دیگر بدون کندانسور ادامه می‌دهیم تا دیگر گاز برم خارج نشود. پس از این مرحله اجازه می‌دهیم تا مخلوط واکنش خنک شود. و محتویات بالون را به مخلوط ۴۰۰ میلی لیتر آب و یخ تقطیر شده می‌افزاییم و pH آن توسط محلول سود به ۴ تا ۵ می‌رسانیم و توسط دی کلرومتان استخراج می‌کنیم پس از تبخیر حلال فندايوم با راندمان ۹۶ درصد به دست می‌آید. جهت افزایش خلوص محصول حاصل در اتانل کریستال گیری مجدد شد.



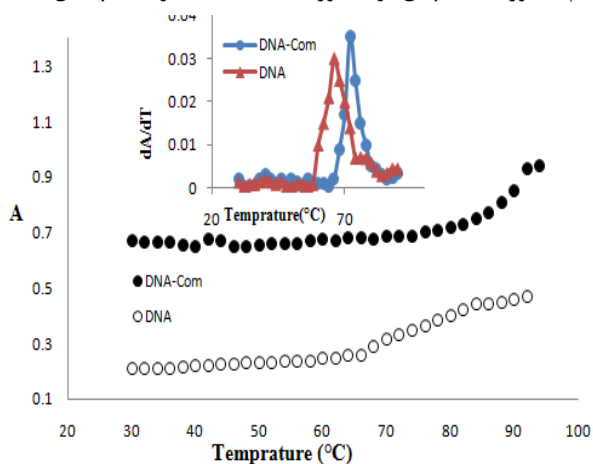
۲-۲-۲- سنتز کمپلکس دی کلرو(۱۰ فنانترولین-

۶و۵-دی ان) پالادیوم (II)

به ۳ میلی لیتر آب دو بار تقطیر، ۱۷,۷ میلی گرم (۰,۱ میلی مول) پالادیوم (II) کلرید و ۲۹,۳ میلی گرم (۰,۵ میلی مول) سدیم کلرید اضافه گردید. سپس مخلوط در ۵۰ درجه سانتیگراد هم زده شد تا کاملاً شفاف شد. سپس سرد و صاف شد. محلول حاوی Na₂[PdCl₄] است. به این محلول، قطره قطره محلول حاوی ۱۰ فنانترولین-۶و۵-دی



شکل ۲- طیف نشر فلورسانس برای برهم‌کنش EtBr-DNA در عدم حضور (نقطه چین) و حضور غلظت های متفاوت کمپلکس



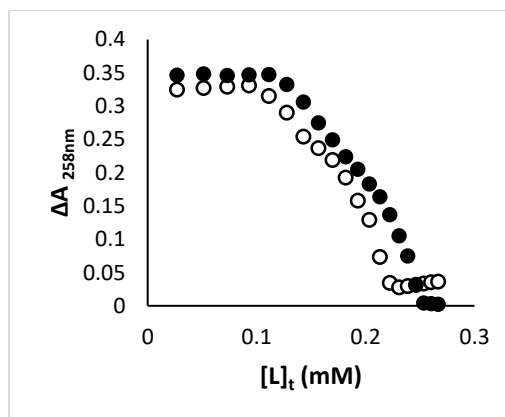
شکل ۳- منحنی ذوب DNA در غیاب و حضور کمپلکس

۳- شرح و بحث

با رسم منحنی تغییرات جذب به غلظت کمپلکس، منحنی دنا تور رسم گردید (شکل ۱). مطالعه غیر طبیعی شدن DNA با کمپلکس تهیه شده، نشان داد که این ترکیب می‌تواند DNA را در غلظت های میکرومولار دنا تور کند. مقادیر $[L]_{1/2}$ در دو دمای 27°C و 37°C به ترتیب (۸۰ و ۷۰) میکرومولار است که با افزایش دما این غلظت کاهش می‌یابد.

با استفاده از منحنی فوق و روش PACE [23] میزان پایداری DNA ($\Delta G^{\circ}_{\text{H}_2\text{O}}$) در دو دمای 27°C و 37°C به ترتیب (۳۳,۶ و ۲۷,۳ kJ/mol) می‌باشد. بنابراین DNA در دمای 37°C پایداری کمتری دارد و این پایداری در حضور کمپلکس کاهش می‌یابد. شکل ۴ تغییرات انرژی آزاد گیبس

مطالعه غیر طبیعی شدن DNA با کمپلکس تهیه شده در محیط تریس بافر با $\text{pH}=7.4$ و 10 mM سدیم کلرید در دو دمای 27°C و 37°C با استفاده از طیف سنجی UV-visible, Fluorescence انجام و پارامترهای ترمودینامیکی این برهمکنش بررسی شد. شکل ۱ تغییرات جذب DNA در 258 nm با افزایش کمپلکس در دو دمای 27°C و 37°C درجه سانتیگراد در محیط تریس بافر را نشان می‌دهد که در آن دنا تور شدن DNA قابل مشاهده می‌باشد. همچنین شکل ۲ کاهش شدت نشر فلورسانس با افزایش کمپلکس به محلول DNA-EtBr در دمای 27°C در محیط تریس بافر با $\text{pH}=7.4$ را نشان می‌دهد که این امر به واسطه خروج اتیدیوم برمید و قرار گرفتن کمپلکس به جای آن می‌باشد. شکل ۳ برهمکنش بین کمپلکس و DNA در دمای انتقال را نشان می‌دهد. در صورت وجود برهم‌کنش بین کمپلکس و DNA، در دمای انتقال محلول Complex-DNA نسبت به دمای انتقال محلول DNA تنها، تغییر ایجاد می‌شود به طوریکه پایداری حرارتی آن افزایش می‌یابد، که اگر این افزایش بین ۵ تا ۱۲ درجه سانتیگراد باشد نشانه برهم‌کنش از نوع اینترکلیشن است [22]. این میزان برای این برهم‌کنش ۸ درجه سانتیگراد بدست آمده است که نشان از برهم‌کنش از نوع اینترکلیت می‌باشد.



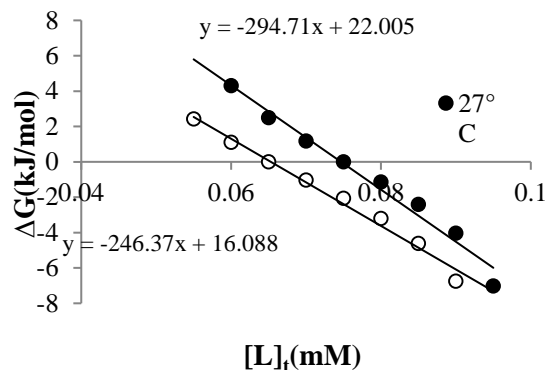
شکل ۱- تغییرات جذب DNA با افزایش کمپلکس در دو دمای 27°C و 37°C درجه سانتی گراد و محیط تریس بافر با $\text{pH}=7.4$

با افزایش غلظت کمپلکس، تعداد بیشتری از جایگاه‌های پیوندی DNA توسط کمپلکس اشغال شده و موجب تغییر ساختار DNA و کاهش پایداری آن می‌شود. با تعیین معادله خط، عرض از مبدأ که همان $\Delta G^\circ(H_2O)$ است و نشان دهنده پایداری DNA در عدم حضور کمپلکس می‌باشد، بدست آمده است که بزرگ بودن این پارامتر، نشان از پایداری بیشتر DNA می‌باشد [24]. با توجه به نزولی بودن نمودار تغییرات انتالپی (شکل ۵) می‌توان نتیجه گرفت که این برهمکنش گرمازا است و مقادیر مثبت آنترופی (ΔS°) به طور معمول دلیل بر، برهمکنش هیدروفوبی می‌باشد [25].

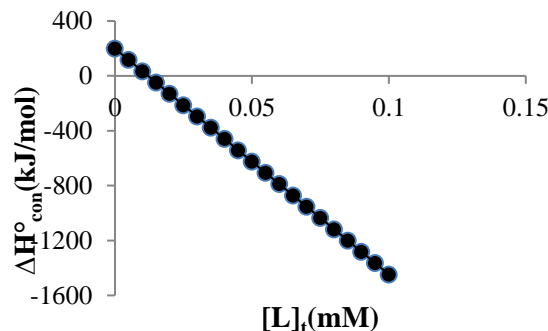
۵- مراجع

1. M. I-Moghaddam, M. Saidifar, F. Rostami-Charati, D. Ajloo, M. Ghadamgahi, *Combinatorial Chemistry & High Throughput Screening*, 2014, 17, 781-789
2. M. Saidifar, H. Mansouri-Torshizi, Y. Palizdar, M. I-Moghaddam, A. Divsalar, A.A.Saboury, *Acta Chim. Slov.*, 2014, 61, 126
3. J.L. van der Veer, J. Reedjik, *Chem. Brit.*, 1985, 20, 775
4. R.F. Ozds, R.C. Young, *Semin. Oncol.*, 1985, 12, 21
5. M. I-Moghaddam, M. Saidifar, A. Divsalar, H. Mansouri-Torshizi, A.A.Saboury, H. Farhangian, M. Ghadamgahi, *Journal of Biomolecular Structure & Dynamics*, 2016, 34, 206
6. Szucova. L., Travnicek. Z., Zatloukal. M., Popa. I., *Bioorg. Med. Chem.*, 2006, 14, 479
7. Natile, G., Coluccia, M., *Coord. Chem. Rev.*, 2001, 216, 383

برای DNA در دو دمای 27°C و 37°C را نشان می‌دهد. همچنین شکل ۵ نمودار تغییرات انتالپی DNA در برابر کمپلکس را نشان می‌دهد.



شکل ۴- تغییرات انرژی گیبس DNA با افزایش لیگاند در دو دمای 27°C و 37°C



شکل ۵- نمودار تغییرات انتالپی DNA در برابر $[L]_t$ مربوط به برهم‌کنش DNA با کمپلکس

همچنین با بکارگیری وانت هوف می‌توان ΔH° conformation یا ΔH° denaturation در محدوده دمایی 27°C تا 37°C برای DNA در برهم‌کنش با کمپلکس را تعیین کرد.

۴- نتیجه گیری

بر هم‌کنش کمپلکس جدید پالادیوم با DNA مورد مطالعه قرار گرفت و مشاهده شد این کمپلکس می‌تواند DNA را در مقادیر کم غیر طبیعی کند با توجه به شکل‌های ۱ و ۲ به احتمال قوی نوع برهم‌کنش کمپلکس DNA از نوع اینترکلیشن می‌باشد. با توجه به شکل ۴ با افزایش غلظت کمپلکس، انرژی آزاد گیبس کاهش می‌یابد. به این دلیل که

16. Shaw, A.Y., Chang, Ch.-Y., Hsu, M.-Y., Lu, P.-J., Yang, Ch.-N., Chen, H.-L., Lo, Ch.-W., Shiau, Ch.-W., Chern, M.-K., *Europ. J. Med. Chem.*, 2010, 45, 2860
17. Gershon, H., Parmegiani, R., *Appl. Microbiol.*, 1962, 10, 348
18. Negm, N.A., Morsy, S.M.I., Said, M.M., *Bioorg.Med.Chem.*, 2005, 13, 5921
19. Yamato, M., Hashigaki, K., Yasumoto, Y., Sakai, J., Tsukagoshi, S., Tashiro, T., Tsuruo, T., The synthesis and antitumor *Chem. Pharm. Bull.*, 1986, 34, 3496
20. Moret, V., Laras, Y., Cresteil, T., Aubert, G., Ping, D.Q., Di, C., BarthélémyRequin, M., Béclin, C., Peyrot, V., Allegro, D., Rolland, A., De Angelis, F., Gatti, E., Pierre, P., Pasquini, L., Petrucci, E., Testa, U., Kraus, J.-L., *Eur. J. Med. Chem.*, 2009, 44, 558
21. Jin, V.X., Ranford, J.D., *Inorg. Chim. Acta*, 2000, 304, 38
22. Grant, M.; Baron, R.; Macias, M.; Layne, M.; Perrella, M., *Biochem. J.*, 2009, 418, 103.
23. Greene, R. F., & Pace, C. N. *Journal of Biological Chemistry*, 1974, 249, 5388
24. Cao, Y.; He, Xi-w., *Spectrochim. Acta. A*, 1998, 54, 883.
25. Divsalar A.; Saboury, A. A.; Mansoori-Torshizi; H.; Eslami, M. M.; Ahmad, F.; Hakimelahi, G. H., *J. Biomol. Struc.*, 2009, 26, 5, 587.
8. Gao, E., Wang, L., Zhu, M., Liu, L., Zhang, W., *Eur. J. Med. Chem.*, 2010, 45, 311
9. Erkkila, K.E., Odom, T.D., Barton, J.K., *Chem. Rev.*, 1999, 99, 2777
10. Metcalfe, C., Thomas, J.A., *Kinetically Chem. Soc. Rev.*, 2003, 32, 215
11. Tan, L.-F., Liu, X.-H., Chao, H., Ji, L.-N., *J. Inorg. Biochem.*, 2007, 101, 56
12. Tusek-Bozic, L., Juribasic, M., Traldi, P., Scarcia, V., Furlani, A., *Polyhedron*, 2008, 27, 1317
13. Higgins III, J.D., Neely, L., Fricker, S., *J. Inorg. Biochem.*, 1993, 49, 156
14. Kovalala-Demertzi, D., Demertzis, M.A., Filiou, E., Pantazaki, A.A., Yadav, P.N., Miller, J.R., Zheng, Y., Kyriakidis, D.A., *Biomaterials*, 2003, 16, 411
15. Zhuang, L., Wai, J.S., Embrey, M.W., Fisher, T.E., Egbertson, M.S., Payne, L.S., Guare Jr., J. P., Vacca, J.P., Hazuda, D.J., Felock, P.J., Wolfe, A.L., Stillmock, K.A., Witmer, M.V., Moyer, G., Schleif, W.A., Gabryelski, L.J., Leonard, Y.M., Lynch Jr., J.J., Michelson, S.R., Young, S.D., *J. Med. Chem.*, 2003, 46, 453